

· 综合评述 ·

## 有机光催化在构建咪唑并[1,2-*a*]吡啶3位C—C键中的研究

刘 想, 李 文, 黄昌凤, 曹 华\*

(广东药科大学 医药化工学院 广东省化妆品工程技术研究中心, 广东 中山 528458)

**摘要:** 在含氮有机化合物中, 咪唑并[1,2-*a*]吡啶广泛应用于光学、材料科学和有机金属学等领域中。此外, 这种结构还具有抗病毒、抗菌、杀菌和抗炎等多种生物活性。通过有机光催化咪唑并[1,2-*a*]吡啶3位C—H键官能化构建C—C键的方法, 因条件温和、对环境绿色友好等优点, 已经成为合成官能化有机分子的有力策略。综述了自2016年来, 有机光催化咪唑并[1,2-*a*]吡啶3位C—H键官能化为C—C键的相关研究。

**关 键 词:** 光催化; 咪唑; 吡啶; C—C键; C—H键; 合成; 官能化; 综述

中图分类号: O626

文献标志码: A

DOI: 10.15952/j.cnki.cjsc.1005-1511.20257

## Research on The 3-position C—C Bond Construction of Imidazo[1,2-*a*]pyridines by Organic Photocatalysis

LIU Xiang, LI Wen, HUANG Chang-feng, CAO Hua\*

(Guangdong Cosmetics Engineering & Technology Research Center, School of Chemistry and Chemical Engineering, Guangdong Pharmaceutical University, Zhongshan 528458, China)

**Abstract:** Among nitrogen-containing organic compounds, imidazo[1,2-*a*]pyridines have a wide range of industrial applications in the fields of optics, material science, and organometallics. At present, it has been found that this structure has many biological activities such as anti-viral, antibacterial, fungicidal, and antiinflammatory activities. Among them, the method of C—C bond construction through 3-position C—H functionalization of imidazo[1,2-*a*]pyridines by organic photocatalysis is mild and environmentally friendly, and visible light catalysis has become a powerful strategy for the synthesis of functionalized organic molecules. In this review, we summarize the research on the functionalization of 3-position C—H bond of imidazo[1,2-*a*]pyridines into C—C bond by organic photocatalytic since 2016.

**Keywords:** photocatalysis; imidazo; pyridine; C—C bond; C—H bond; synthesis; functionalization; review

含氮化合物咪唑并[1,2-*a*]吡啶是一种关键的结构单元, 在光学、材料科学和药物化学等领域都具有广泛的应用<sup>[1]</sup> (图1)。官能化的咪唑并

[1,2-*a*]吡啶, 尤其是C-3位官能化的咪唑并[1,2-*a*]吡啶, 具有抗病毒、细胞毒性、抗菌、杀菌剂和抗炎等多种药理活性<sup>[2-5]</sup>。多年来, 越来越多的

收稿日期: 2020-09-26; 修订日期: 2020-10-21

基金项目: 广东省创新强校项目(2019KQNCX061); 省市共建重点学科建设专项资金资助项目

第一作者简介: 刘想(1990-), 男, 汉族, 湖北黄冈人, 讲师, 主要从事有机合成化学研究。E-mail: liux96@gdpu.edu.cn

通信联系人: 曹华, 博士, 教授, E-mail: caohua@gdpu.edu.cn

有机化学家关注杂环化合物的C—H键官能化反应,该反应用于具有生物活性和药物活性的杂环化合物来说意义非凡。目前,咪唑并吡啶结构成为了很多药物分子的核心结构,如唑吡坦、唑吡坦、阿吡坦等<sup>[6]</sup>。目前,已有多条合成C-3位官能化的咪唑并[1,2-a]吡啶的方法,但部分存在产率低、金属催化剂消耗大、成本高、污染环境等问题。因此,追求咪唑杂环的绿色合成和官能化方法,引起了医药研究和有机合成领域的极大兴趣<sup>[7]</sup>。

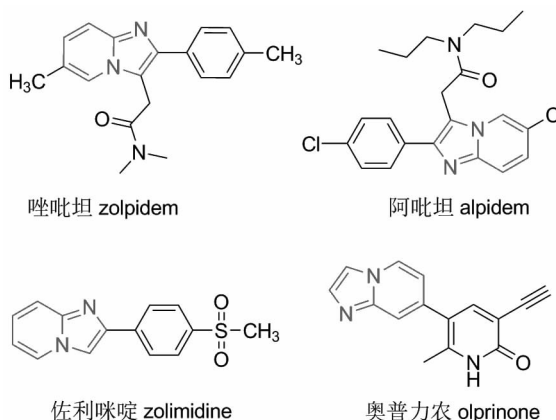


图1 含咪唑并吡啶结构的代表性药物

Figure 1 Representative drugs of imidazopyridines compounds

在过去的一段时间里,可见光极大地促进了有机转变,已成为一种高效和环境兼容的合成策略<sup>[8~10]</sup>。有机光催化的合成反应是指催化剂参与下的光化学反应,常用催化剂主要有*fac*-Ir(ppy)<sub>3</sub>、rose bengal和Ir(py)<sub>2</sub>(dtbbpy)PF<sub>6</sub>等,结构式如图2所示,常用光源有蓝光、日光和白光等。其反应机理基本如下:在光源的作用下,有机光催化剂吸收光能转变为激发态,激发态的光催化剂与其中一个反应物反应产生活性中间体自由基,进而与咪唑并[1,2-a]吡啶咪唑环上的碳碳双键作用合成新的化合物。光催化技术操作简单、能耗低、无二次污染、效率高,是一种绿色安全的有机合成方案,有效推动了有机合成的发展<sup>[11]</sup>。因此,在光催化下推动咪唑并[1,2-a]吡啶C-3位官能化,从而构建新的C—C键,已经得到越来越多化学工作者的关注(图3)。本研究小组一直致力于基于绿色化学导向的C—H键官能化反应,并且在构建咪唑并[1,2-a]吡啶等含氮杂环化合物中取得重要进展<sup>[12~15]</sup>。

鉴于有机光化学的快速发展,本文从构建咪

唑并[1,2-a]吡啶3位C(sp<sup>2</sup>)—C(sp<sup>3</sup>)和C(sp<sup>2</sup>)—C(sp<sup>2</sup>)两种形式,简要综述了近年来在有机光催化下构建咪唑并[1,2-a]吡啶3位C—C键的相关研究。

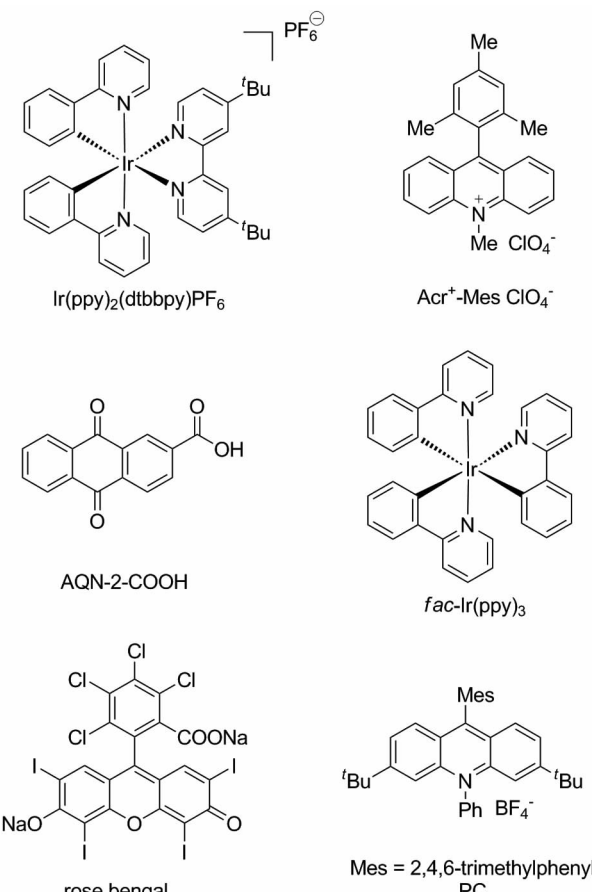


图2 有机光催化剂的结构

Figure 2 Structures of organic photocatalysts

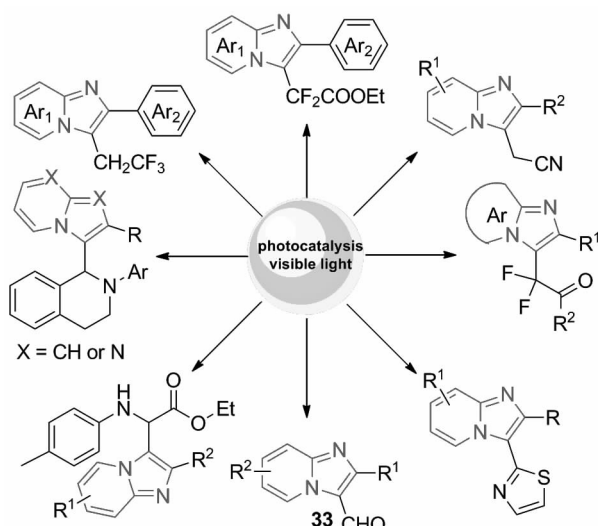
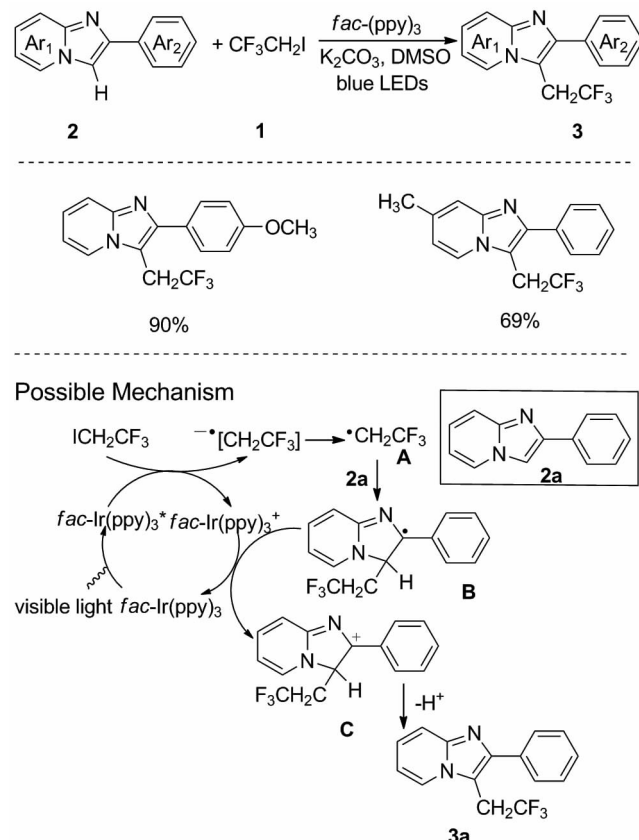
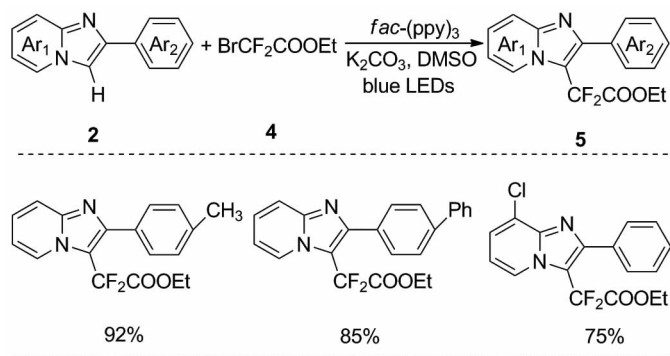


图3 有机光催化在合成咪唑并吡啶类化合物中应用

Figure 3 The application of synthesis of imidazopyridine compounds via organic photocatalysis

图 4 可见光下咪唑并[1,2-*a*]吡啶的区域选择性三氟乙基化反应**Figure 4** Regioselective trifluoroethylation of imidazo[1,2-*a*]pyridines under visible-light irradiation图 5 咪唑并[1,2-*a*]吡啶的区域选择性二氟乙酰化反应**Figure 5** Regioselective difluoroacetylation of imidazo[1,2-*a*]pyridines

## 1 可见光催化咪唑并[1,2-a]吡啶3位C( $sp^2$ )—C( $sp^3$ )键的构建

在可见光的催化下,咪唑并[1,2-a]吡啶3位C—H官能化构建C( $sp^2$ )—C( $sp^3$ )键的合成方法多种多样,包括咪唑并[1,2-a]吡啶的三氟乙基化<sup>[16]</sup>、二氟乙酰化<sup>[17]</sup>、氰甲基化<sup>[18]</sup>、烷基化<sup>[19–20]</sup>、三氟甲基化<sup>[21,24]</sup>等。下面是按时间顺序对可见光诱导咪唑并[1,2-a]吡啶3位C( $sp^2$ )—C( $sp^3$ )键形成的反应进行的概述。

2016年,Zhu等以1,1,1-三氟-2-碘乙烷(1)为三氟乙基自由基源,发展了一种可见光诱导的咪唑杂环2的C-3选择性三氟乙基化反应<sup>[16]</sup>。该反应以 $fac$ -Ir(ppy)<sub>3</sub>为光催化剂,经蓝光照射可实现咪唑并[1,2-a]吡啶C( $sp^2$ )—C( $sp^3$ )键的构建。该反应具有良好的区域选择性,可选择性在咪唑并[1,2-a]吡啶C3官能化。且无论芳香环上连有吸电子基团还是给电子基团,均表现为良好的耐受性,但咪唑并吡啶环上连有卤素等基团时所得产率较低。反应机理如下:首先,催化剂 $fac$ -Ir(ppy)<sub>3</sub>在光照射下形成激发态[ $fac$ -Ir(ppy)<sub>3</sub><sup>\*</sup>],然后被CF<sub>3</sub>CH<sub>2</sub>I氧化,生成中间体[CF<sub>3</sub>CH<sub>2</sub>]<sup>·+</sup>和[ $fac$ -Ir(ppy)<sub>3</sub>]<sup>+</sup>,接着中间体[CF<sub>3</sub>CH<sub>2</sub>]<sup>·+</sup>转变为成自由基A;随后自由基A与2-苯基咪唑并[1,2-a]吡啶2a结合生成自由基中间体B;自由基B被[ $fac$ -Ir(ppy)<sub>3</sub>]<sup>+</sup>氧化,形成阳离子中间体C;最后,由碱辅助的去质子化产生所需的产物3a(图4)。

和上述工作类似,2017年,Yin等用BrCF<sub>2</sub>CO<sub>2</sub>E<sub>t</sub>4为碳源,实现了可见光催化咪唑并[1,2-a]吡啶杂环2的直接区域选择性二氟乙酰化反应,可以合成一系列化合物5<sup>[17]</sup>(图5)。该反应的光催化体系和反应机理与2016年Zhu等报道的方法类似,具有较高的官能团耐受性,其中芳香环上带有Me、OMe等给电子基团时比带有卤素等吸电子基团时的产率较高,并且当咪唑并吡啶环上带有氯原子时所得产物产率较低。

同年,Chang等发现了可见光诱导的咪唑并吡啶的选择性氰甲基化反应。该反应以 $fac$ -Ir(ppy)<sub>3</sub>作为光催化剂,在蓝光照射下,使咪唑并[1,2-a]吡啶6与溴乙腈7反应,合成3-氰甲基化咪唑并吡啶8<sup>[18]</sup>(图6)。该反应对给电子基团和吸电子基团均耐受,所得产率较高,且具有合成路线短、成本低、反应条件温和等特点,对类似物唑

吡坦和阿吡坦等药物的合成具有重要意义,其反应机理与Zhu等提出的机理类似。当采用碘乙腈作为碳源时,反应也能顺利进行。此外,可见光诱导的氰甲基化反应也可能发生在咪唑环上,适用于其他咪唑杂环底物,如2-苯基苯并[d]咪唑[2,1-b]噻唑和6-苯基咪唑[2,1-b]噻唑等。

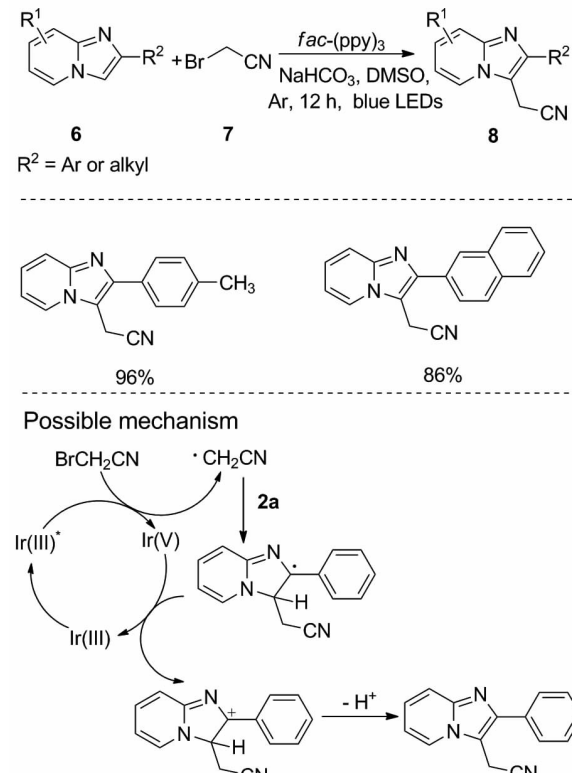
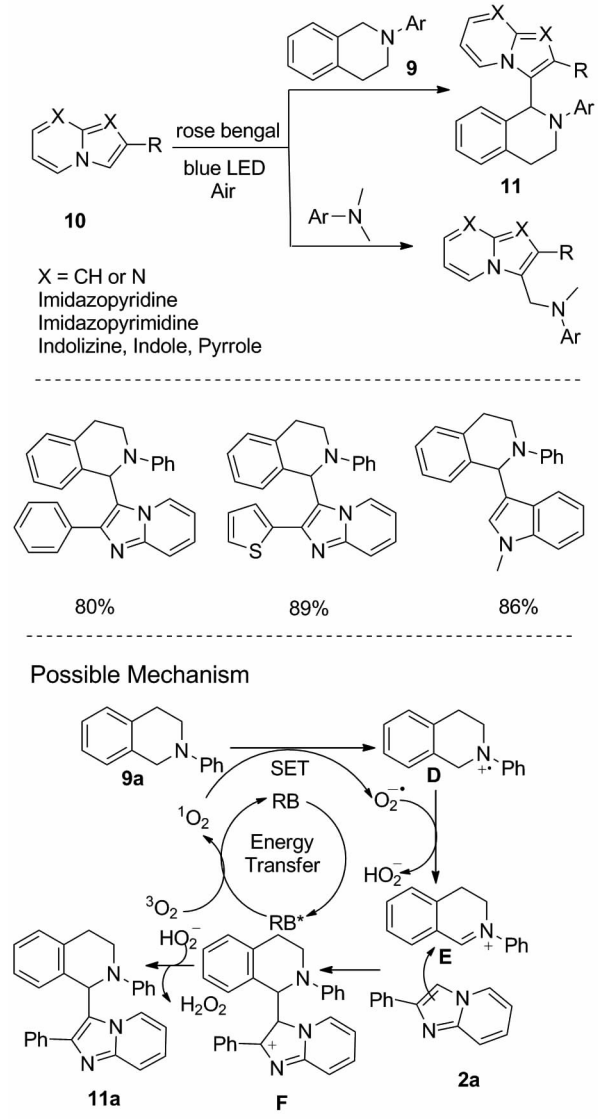


图6 咪唑并[1,2-a]吡啶的选择性氰甲基化反应

Figure 6 Regioselective cyanomethylation of imidazo[1,2-a]pyridines

2018年,Kibriya等开发了一种可见光促进的四氢异喹啉9与咪唑并[1,2-a]吡啶10之间的交叉脱氢偶联反应,以获得3位取代的咪唑并吡啶11<sup>[19]</sup>。该反应底物适用范围广,条件温和,无需使用金属光敏剂,而使用的是廉价的rose bengal(RB)作为有机光催化剂。此外,该方法也适用于咪唑[1,2-a]嘧啶、吲哚、吲哚和吡咯等杂环化合物,但是1-苯基萘[2,1-b]呋喃、苯并呋喃和富电子芳烃等则不能发生该反应。该反应机理为:在吸收光子后,RB由基态转变为激发态RB<sup>\*</sup>。RB<sup>\*</sup>将其能量转移到基态氧(<sup>3</sup>O<sub>2</sub>),形成单线态氧(<sup>1</sup>O<sub>2</sub>),接着叔胺被单线态氧氧化形成胺基阳离子D和超氧自由基阴离子(O<sub>2</sub><sup>·-</sup>)。随后,中间体D释放出一个氢原子形成亚胺离子E,之后亚

胺离子 **E** 与 2-苯基咪唑并[1,2-a]吡啶 **2a** 发生亲电加成得到咪唑啉离子 **F**。最后,  $\text{HO}_2^-$  从中间体 **F** 中提取质子, 产生交叉偶联产物 **11a** 和  $\text{H}_2\text{O}_2$  (图 7), 完成了催化循环。



下时, 反应完全不能进行。作者认为首先是二价铜与 *N*-芳基甘氨酸酯 **12** 中的氮、氧原子配位, 随后该中间体在可见光照射和氧气的作用下生成亚胺中间体, 最后亚胺中间体和咪唑并[1,2-a]吡啶 **2a** 加成从而得到目标产物。另外, 当原料 *N*-芳基甘氨酸酯 **12** 的苯环上含有强吸电子基团时, 不利于该反应的转化。而当 *N*-芳基甘氨酸酯基中含有不同烷基取代基时, 对反应的产率影响较小。

2019 年, Zhou 等开发了一种无过渡金属、可见光诱导的咪唑并[1,2-a]吡啶的三氟甲基化反应, 其以蒽醌-2-羧酸 (AQN-2-CO<sub>2</sub>H) 为光有机催化剂, CF<sub>3</sub>SO<sub>2</sub>Na (Langlois) 试剂为三氟甲基试剂, 高产率合成化合物 **16**<sup>[21]</sup>。其反应机理如下: 首先, CF<sub>3</sub>SO<sub>2</sub><sup>-</sup> 经过光催化反应生成 CF<sub>3</sub> 自由基; 随后 CF<sub>3</sub> 自由基与 2-苯基咪唑并[1,2-a]吡啶 **2a** 生成中间体 **G**, 接着中间体 **G** 被 CF<sub>3</sub> 自由基氧化得碳正离子中间体 **H**; 最后中间体 **H** 消除 H<sup>+</sup> 得到产物 **16a** (图 9)。通过该方法可以合成一系列三氟甲基取代的咪唑并[1,2-a]吡啶化合物。

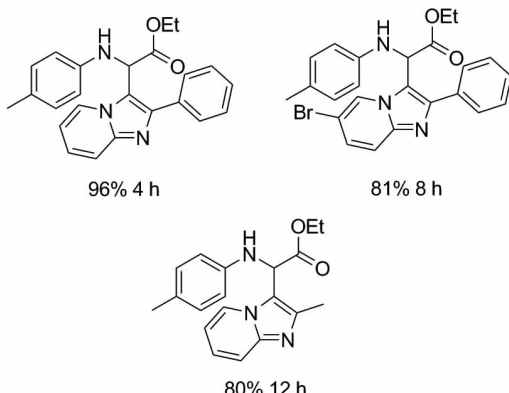
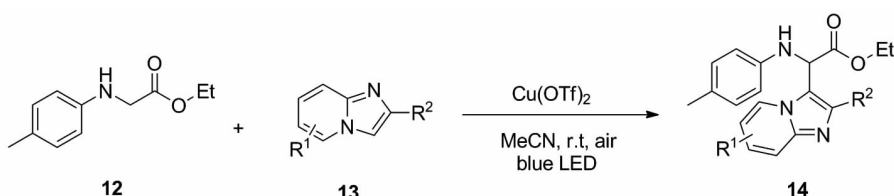
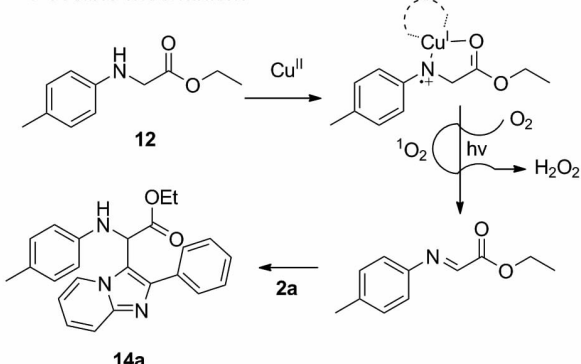
随后, Singsardar 等以 rose bengal 为光氧化还原催化剂, 发展了一种温和、高效的咪唑并[1,2-a]吡啶直接二氟甲基磺化方法。该反应将咪唑并[1,2-a]吡啶 **17** 与 BrCF<sub>2</sub>PO(OEt)<sub>2</sub> **18** 反应合成化合物 **19**<sup>[22]</sup> (图 10)。添加剂在这一转化过程中起着重要作用, B<sub>2</sub>pin<sub>2</sub> 是 BF<sub>3</sub>·Et<sub>2</sub>O、BPINIPR、Et<sub>3</sub>SiH、FeCl<sub>3</sub>、ZnCl<sub>2</sub>、AlCl<sub>3</sub> 等多种添加剂中的最佳添加剂, 因其可以与咪唑并吡啶形成较稳定的加成物, 且具有较高的偶联反应活性。另外, 在没有光催化剂 (Rose bengal) 或碱 (NaHCO<sub>3</sub>) 或添加剂 (B<sub>2</sub>pin<sub>2</sub>) 和可见光的情况下, 均不会生成产物。该方法底物适用范围广, 苯环或咪唑并吡啶环上连有给电子基团 (Me、OMe) 或卤素等吸电子基团 (CN、NO<sub>2</sub>) 时具有良好的耐受性, 所得产率较高, 也适用于其他杂环, 如咪唑[2,1-b]噻唑、苯并[d]咪唑-[2,1-b]噻唑和吲哚。

与 Singsardar 发表文章同期, Qu 等提出了一种利用可见光促进的溴二氟芳基酮 **20** 与咪唑并[1,2-a]吡啶 **21** 作用生成化合物 **22** 的二氟烷基化反应<sup>[23]</sup> (图 11)。该反应条件温和、操作简单, 为简化含二氟化合物的合成提供了一种新的方法。

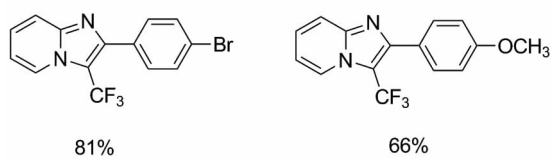
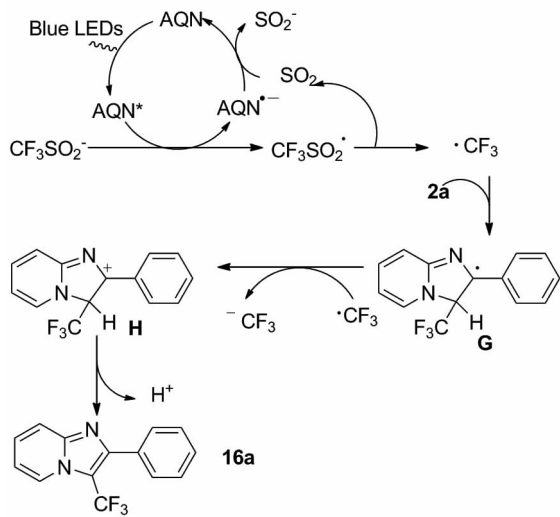
图 7 可见光诱导的咪唑并[1,2-a]吡啶的交叉脱氢偶联反应

Figure 7 Visible-light-promoted cross-dehydrogenative coupling of imidazo[1,2-a]pyridines

同一时期, Zhu 等报道了可见光促进 *N*-芳基甘氨酸酯 **12** 与咪唑并[1,2-a]吡啶 **13** 交叉脱氢偶联反应, 以此可以合成化合物 **14**<sup>[20]</sup> (图 8)。该反应无需添加任何光敏剂, 只需添加金属铜催化剂即可。需要注意的是, 反应中的分子氧扮演着重要的角色。在最佳条件下将反应置于氮气氛围

**Possible Mechanism****图8** 可见光促进 *N*-芳基甘氨酸酯与咪唑并[1,2-*a*]吡啶的交叉脱氢偶联反应

**Figure 8** Visible-light-promoted cross-dehydrogenative-coupling reaction between *N*-arylglycine esters and imidazo[1,2-*a*]pyridines

**Possible Mechanism****图9** 可见光介导的咪唑并[1,2-*a*]吡啶的区域选择性三氟甲基化

**Figure 9** Visible-light-mediated regioselective trifluoromethylation of imidazo[1,2-*a*]pyridines

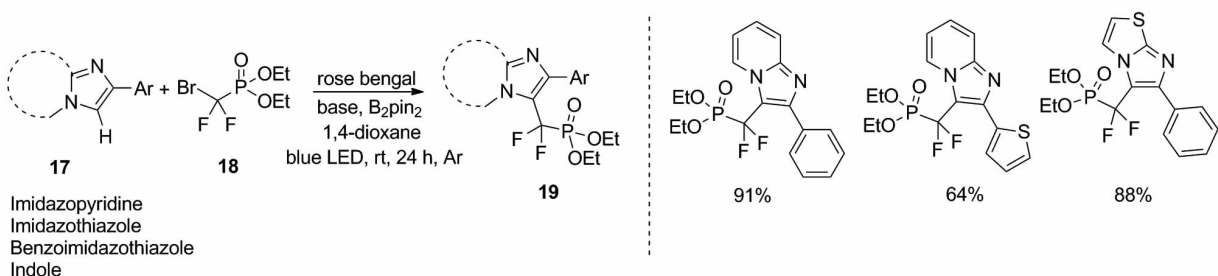


图 10 咪唑杂环化合物的二氟亚甲基膦化反应

Figure 10 Difluoromethylenephosphonation of imidazoheterocycles

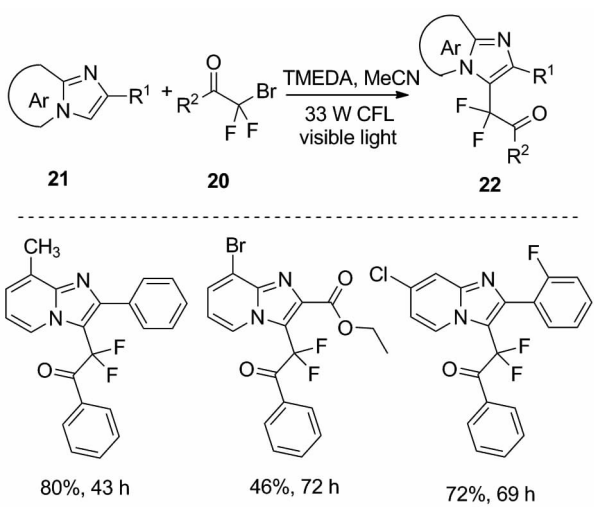


图 11 咪唑并吡啶的光化学二氟烷基化反应

Figure 11 Photochemical difluoroalkylation of imidazopyridines

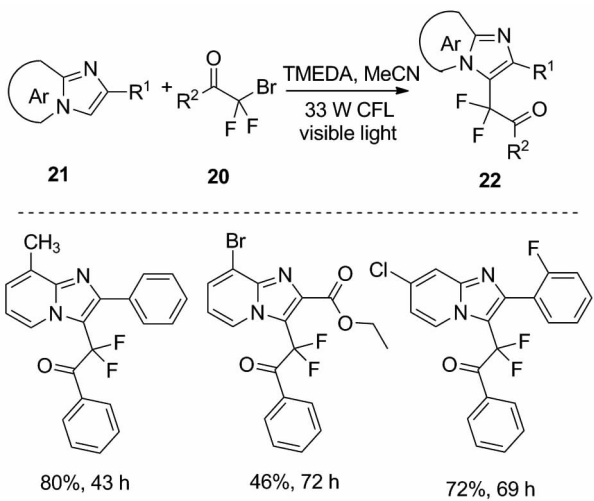


图 12 咪唑并[1,2-a]吡啶的三氟甲基化

Figure 12 Trifluoromethylation of imidazo[1,2-a]pyridines

2020 年, Mi 等报道了咪唑并吡啶的三氟甲基化反应。该反应以均三甲基吖啶鎓为光催化剂,  $\text{CF}_3\text{SO}_2\text{Na}$  为自由基源, 在温和条件下由咪唑并

[1,2-*a*] 吡啶衍生物 **23** 合成化合物 **24**<sup>[24]</sup>。其反应机理如下:首先,在光催化剂的作用下,吖啶 [PC] 转变为激发态 [PC]<sup>\*</sup>;接着  $\text{CF}_3\text{SO}_2^-$  与激发态吖啶 [PC]<sup>\*</sup> 发生单电子转移生成  $\text{CF}_3\text{SO}_2$  自由基;随后  $\text{CF}_3\text{SO}_2$  自由基发生裂解产物  $\text{CF}_3$  自由基;最后,  $\text{CF}_3$  自由基与 2-苯基咪唑并[1,2-*a*]吡啶 **2a** 反应生成中间体 **H**,再将中间体 **H** 氧化脱氢生成化合物 **24a**(图 12)。

同年, Shi 等以  $\text{CsPbBr}_3$  作为非均相光催化剂,咪唑并吡啶杂环化合物 **25** 与 *N*-苯甘氨酸类衍生物 **26** 的氨基甲基化反应,合成化合物 **27**<sup>[25]</sup>(图 13)。在该反应中,无论咪唑并[1,2-*a*]吡啶苯基上的取代基为吸电子基团(F、Cl、Br、CN 和  $\text{CF}_3$ )或给电子基团(OMe、Me),均表现出良好的耐受性,其中  $\text{R}^1$  含有噻吩和萘环时也适用于该转化,且均获得良好的收率。

## 2 可见光催化咪唑并[1,2-*a*]吡啶 3-位 C( $sp^2$ )—C( $sp^2$ )键的构建

2017 年, Chang 等在  $\text{Ir}(\text{ppy})_2(\text{dtbbpy})\text{PF}_6$  ( $\text{Ir}(\text{III})$ ) 催化下,通过可见光诱导咪唑并[1,2-*a*]吡啶 **28** 与 2-溴噻唑 **29** 反应,来合成化合物 **30**<sup>[26]</sup>。该反应是在温和的反应条件下进行的,并以中等至良好的产率获得目标产物。反应机理如下:首先,催化剂  $\text{Ir}(\text{ppy})_2(\text{dtbbpy})\text{PF}_6$  在光的照射下转变为激发态;然后,2-溴噻唑与激发态  $\text{Ir}(\text{III})^*$  反应生成噻唑基自由基 **I**;接着,噻唑基自由基 **I** 加入到 **2a** 中生成杂环自由基 **J**。同时,胺还原  $\text{Ir}(\text{IV})$  时生成一个胺基阳离子 **K**,该阳离子从 **J** 中捕获一个氢自由基形成铵离子,最终得到 **30a**(图 14)。此外,该反应亦适用于 5-溴-2-糠醛,6-苯基咪唑[2,1-*b*]噻唑等咪唑杂环化合物。

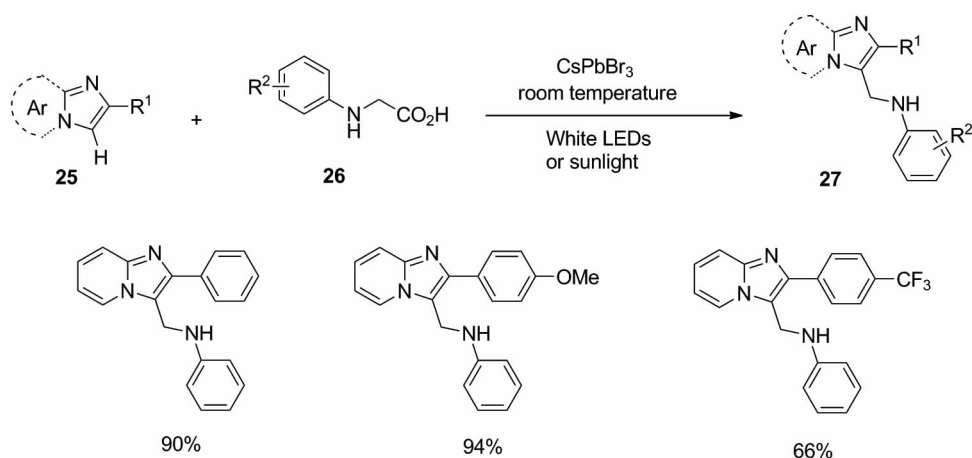
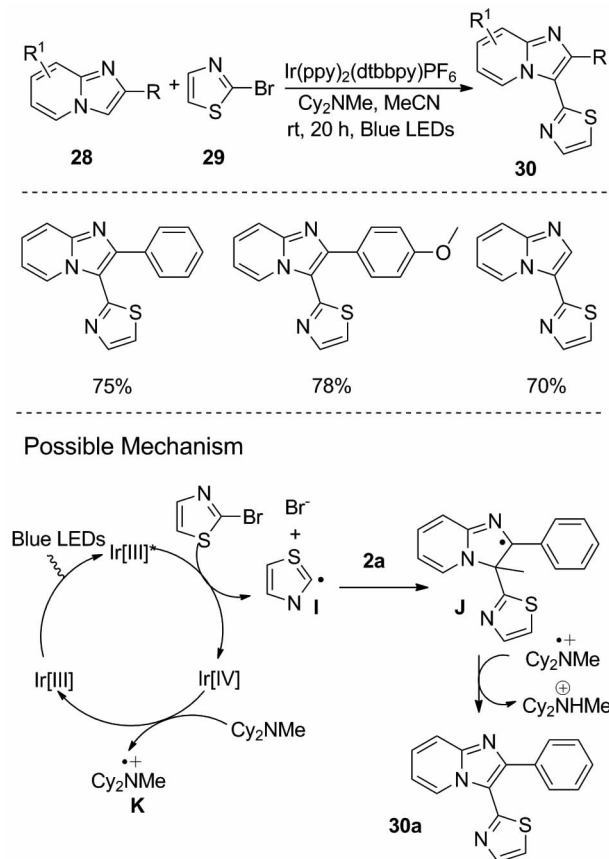


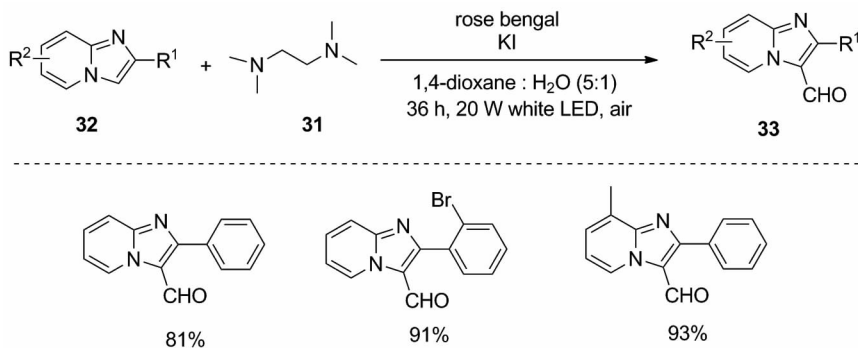
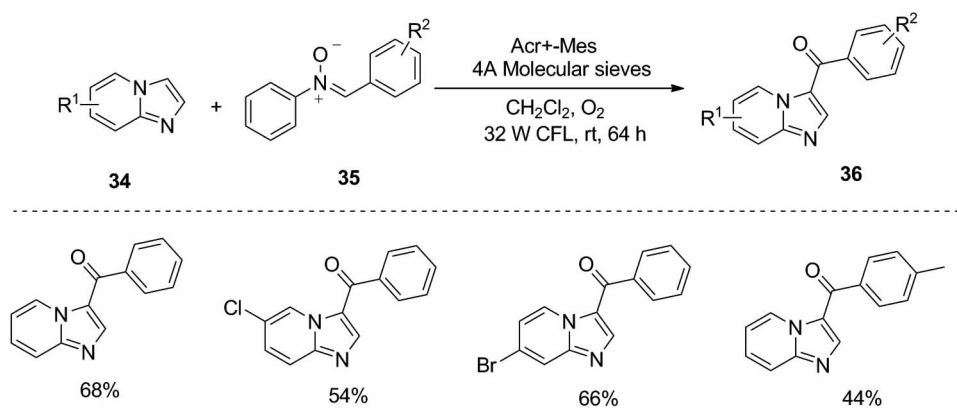
图 13 咪唑杂环的光催化脱羧甲基化反应

Figure 13 Photocatalytic decarboxylative aminomethylation of imidazo-fused heterocycles

图 14 可见光催化咪唑并[1,2-*a*]吡啶与2-溴噁唑的C-3偶氮反应Figure 14 Visible-light-mediated C-3-azolylation of imidazo[1,2-*a*]pyridines with 2-bromoazoles

随后,Kibriya等在有氧的条件下以rose Bengal为光敏剂,四甲基乙二胺(TMEDA)31为单一碳源,发展了一种可见光诱导的咪唑并[1,2-*a*]吡啶32的C-3甲酰化反应,合成了化合物33<sup>[27]</sup>(图15)。在氧气存在条件下,利用该策略有效地合

成了芳基/杂芳基/烷基咪唑并[1,2-*a*]吡啶。该反应具有较高的底物耐受性,所得产物产率高,如Me、OMe、F、Cl、Br、OH、CN、CF<sub>3</sub>、SO<sub>2</sub>Me等基团都能兼容。重要的是,对于未取代的咪唑并[1,2-*a*]吡啶也能区域选择性地获得3-甲酰基化

图 15 咪唑并[1,2-*a*]吡啶的甲酰化反应Figure 15 Formylation of imidazo[1,2-*a*]pyridines图 16 咪唑并[1,2-*a*]吡啶的区域选择性羰基化Figure 16 Regioselective Carbonylation of imidazo[1,2-*a*]pyridines

产物。从绿色化学的角度来看,该方法的可扩大规模反应也是一个重要方面。另外,除咪唑并[1,2-*a*]吡啶外,该策略也适用于吲哚嗪的甲酰化反应。

2019 年,Tang 等以 9-甲酰-10-甲基吡啶离子(Acr<sup>+</sup>-Mes)为高效有机光敏剂,氧分子作为氧化剂,使咪唑并[1,2-*a*]吡啶 34 与硝基化合物 35 反应合成化合物 36,实现了咪唑并[1,2-*a*]吡啶的区域选择性 C-3 羰基化<sup>[28]</sup>(图 16)。该反应用条件温和,底物适用范围广,但对于苯并呋喃、吲哚等杂环化合物则不能发生该反应。

### 3 结论

综上所述,有机光催化咪唑并[1,2-*a*]吡啶的 C-3 官能化吸引了很多学者的关注,为合成官能化的药物分子提供了良好的策略。这种有机光催化的合成方法实现了多种生物活性含氮杂环的 C-H 官能化,如咪唑并吡啶、咪唑并噻唑、吲哚等,C-H 官能化也能在过渡金属光催化剂或有

机光氧化还原催化剂,甚至在没有任何光催化剂的情况下进行。此外,这种光催化咪唑并[1,2-*a*]吡啶 3-位官能化,从而构建 C-C 键的合成方法绿色友好、作用条件温和、可持续能力强、产率较高。近年来,很多研究者对咪唑并吡啶进行了研究,并在其 3-位 C-H 官能化方面取得了巨大突破,然而仍然存在一些问题和挑战:(1)在适当的条件下,咪唑并吡啶 5-位也可以发生官能化反应,目前通过光催化途径对 5-位官能化的报道较少;(2)光催化氮杂环化合物的 C-H 官能化在药物开发和先导化合物后期修饰的应用还有待进一步研究。期待出现更多有机光催化咪唑并[1,2-*a*]吡啶区域选择性 C-H 键官能化的新研究。

### 参考文献

- [1] TASHRIFI Z, LARIJANI B, MAHDAVI M, et al. C3-Functionalization of imidazo [1, 2-*a*] pyridines [J]. European Journal of Organic Chemistry, 2020, (3): 269–284.

- [2] ENGUEHARD G C, GUEIFFIER A. Recent progress in the pharmacology of imidazo[1,2-a]pyridines[J]. *Mini-Reviews in Medicinal Chemistry*, 2007, **7**(9): 888–899.
- [3] FU R G, YOU Q D, YANG L, et al. Design, synthesis and bioevaluation of dihydropyrazolo[3,4-b]pyridine and benzo[4,5]imidazo[1,2-a]pyrimidine compounds as dual KSP and Aurora-A kinase inhibitors for anti-cancer agents[J]. *Bioorganic & Medicinal Chemistry*, 2010, **18**(22): 8035–8043.
- [4] ZHOU J P, DING Y W, ZHANG H B, et al. Synthesis and anti-inflammatory activity of imidazo[1,2-a]pyrimidine derivatives[J]. *Chinese Chemical Letters*, 2008, **19**(6): 669–672.
- [5] LIU P, FANG L S, LEI X S, et al. Synthesis of imidazo[1,2-a]pyridines via three-component reaction of 2-aminopyridines, aldehydes and alkynes[J]. *Tetrahedron Letters*, 2010, **51**(35): 4605–4608.
- [6] STASYUK A J, BANASIEWICZ M, GRYKO D T, et al. Imidazo[1,2-a]pyridines susceptible to excited state intramolecular proton transfer: One-pot synthesis via an ortoleva-king reaction[J]. *The Journal of Organic Chemistry*, 2012, **77**(13): 5552–5558.
- [7] DUCRAY R, JONES C D, JUNG F H, et al. Novel imidazo[1,2-a]pyridine based inhibitors of the IGF-1 receptor tyrosine kinase: Optimization of the aniline [J]. *Bioorganic & Medicinal Chemistry Letters*, 2011, **21**(16): 4702–4704.
- [8] WANG H M, GAO X L, LV Z C, et al. Recent Advances in oxidative R<sup>1</sup>H/R<sup>2</sup>H cross-coupling with hydrogen evolution via photo-/electrochemistry [J]. *Chemical Reviews*, 2019, **119**(12): 6769–6789.
- [9] YU X Y, CHEN J R, XIAO W J. Visible light-driven radical-mediated C—C bond cleavage/functionalization in organic synthesis [J]. *Chemical Reviews*, 2020, DOI: //doi.org/10.1021/acs.chemrev.0c00030.
- [10] MCATEE R C, MCCLAIN E J, STEPHENSON C R J. Illuminating photoredox catalysis [J]. *Trends in Chemistry*, 2019, **1**(1): 111–125.
- [11] RAVELLI D, FAGNON P M. Dyes as visible light photoredox organocatalysts [J]. *Chem Cat Chem*, 2012, **4**(2): 169–171.
- [12] CUI Z M, ZHU B F, LI X C, et al. Access to sulfonylated furans or imidazo[1,2-a]pyridines via a metal-free three-component, domino reaction[J]. *Organic Chemistry Frontiers*, 2018, **5**: 2219–2223.
- [13] YU Y, SU Z Q, CAO H. Strategies for synthesis of imidazo[1,2-a]pyridine derivatives: Carbene transformations or C—H functionalizations[J]. *The Chemical Record*, 2019, **19**(10): 2105–2118.
- [14] CAO H, LEI S, LI N Y, et al. Cu-catalyzed selective C3-formylation of imidazo[1,2-a]pyridine C—H bonds with DMSO using molecular oxygen[J]. *Chemical Communications*, 2015, **51**: 1823–1825.
- [15] LEI S, CAO H, CHEN L B, et al. Regioselective oxidative homocoupling reaction: An efficient copper-catalyzed synthesis of biimidazo[1,2-a]pyridines [J]. *Advanced Synthesis & Catalysis*, 2015, **357**(14–15): 3109–3114.
- [16] ZHU M, HAN X, FU W J, et al. Regioselective 2,2,2-trifluoroethylation of imidazopyridines by visible light photoredox catalysis[J]. *The Journal of Organic Chemistry*, 2016, **81**(16): 7282–7287.
- [17] YIN G J, ZHU M, FU W J. Visible-light-induced photocatalytic difluoroacetylation of imidazopyridines via direct and regioselective C—H functionalization [J]. *Journal of Fluorine Chemistry*, 2017, **199**: 14–19.
- [18] CHANG Q, LIU Z Y, LIU P, et al. Visible-light-induced regioselective cyanomethylation of imidazopyridines and its application in drug synthesis [J]. *The Journal of Organic Chemistry*, 2017, **82**(10): 5391–5392.
- [19] KIBRIYA G, BAGDI A K, HAJRA A. Visible-light-promoted C(sp<sup>3</sup>)—C(sp<sup>2</sup>) cross-dehydrogenative coupling of tertiary amine with imidazopyridine[J]. *The Journal of Organic Chemistry*, 2018, **83**(17): 10619–10626.
- [20] ZHU Z Q, XIAO L J, ZHOU C C, et al. A visible-light-promoted cross-dehydrogenative-coupling reaction of N-arylglycine esters with imidazo[1,2-a]pyridines[J]. *Tetrahedron Letters*, 2018, **59**(35): 3326–3331.
- [21] ZHOU Q G, XU S, ZHANG R H. Transition-metal-free, visible-light-mediated regioselective C—H trifluoromethylation of imidazo[1,2-a]pyridines [J]. *Tetrahedron Letters*, 2019, **60**(10): 734–738.
- [22] SINGSARDAR M, MONDALI S, LARU S, et al. Organophotoredox-catalyzed C(sp<sup>2</sup>)—H difluoromethylene-nephosphonation of imidazoheterocycles [J]. *Organic Letters*, 2019, **21**(14): 5606–5610.
- [23] QU C H, SONG G T, XU J, et al. Merging visible light with cross-coupling: The photochemical direct C—H difluoroalkylation of imidazopyridines [J]. *Organic Letters*, 2019, **21**(20): 8169–8173.

- [24] MI X, KONG Y F, YANG H X, *et al.* Visible-Light-promoted metal-free C—H trifluoromethylation of imidazopyridines[J]. European Journal of Organic Chemistry, 2020, (8) :1019 – 1022.
- [25] SHI T, SUN K, CHEN X L, *et al.* Recyclable perovskite as heterogeneous photocatalyst for aminomethylation of imidazo-fused heterocycles [J]. Advanced Synthesis Catalysis, 2020, **362**(11) :2143 – 2149.
- [26] CHANG Q, WU Z J, YU L, *et al.* Visible-light-mediated C3-azolylolation of imidazo [1, 2-*a*] pyridines with 2-bromoazoles [J]. Organic & Biomolecular Chemistry, 2017, **15**(5) :5318 – 5324.
- [27] KIBRIYA G, BAGDI A K, HAJRA A. Visible light induced tetramethylethylenediamine assisted formylation of imidazopyridines[J]. Organic & Biomolecular Chemistry, 2018, **16**(18) :3473 – 3478.
- [28] TANG F, GUAN Z, HE Y H. Metal-free regioselective carbonylation of imidazo [1, 2-*a*] pyridines *via* photoredox catalysis using nitrones[J]. Asian Journal of Organic Chemistry, 2019, **8**(6) :867 – 872.